

УДК 528.811.

© 1990 г.

**К. П. ГАЙКОВИЧ**

**РАДИОМЕТРИЧЕСКОЕ ОПРЕДЕЛЕНИЕ ДИНАМИКИ  
ТЕМПЕРАТУРЫ, ТЕПЛОвого ПОТОКА И ПАРАМЕТРОВ  
ЗЕМНОЙ ПОВЕРХНОСТИ НА ОСНОВЕ РЕШЕНИИ  
ТЕРМОЭВОЛЮЦИОННЫХ УРАВНЕНИИ**

Приводятся термозволюционные уравнения, связывающие яркостные температуры теплового получения полупространства с эволюцией температуры (теплового потока) поверхности. Предложены методы дистанционного зондирования температуры, теплового потока и влажности земной поверхности.

**Введение.** Радиометрические методы находят все более широкое применение для исследования земной поверхности [1 — 4], в частности, для определения ее температуры [5—8], подповерхностного термического зондирования [9—12], а также определения теплового потока через поверхность [13]. Эти исследования представляют особый интерес для дистанционного контроля процессов теплообмена между атмосферой и земной поверхностью. Термическое зондирование возможно в СВЧ- и ИК-диапазонах. В ИК-диапазоне излучение формируется в очень тонком поверхностном слое и коэффициент излучения близок к единице, что позволяет весьма точно определять поверхностную температуру. Однако возможности ИК-измерений с ИСЗ существенно ограничивает влияние облачности и атмосферного аэрозоля. Кроме того, ИК-методы не позволяют определить градиент температуры в поверхностном слое, что затрудняет точное вычисление потока тепла через поверхность. Многоволновые измерения в радиодиапазоне (ММ, СМ, ДМ) позволяют восстанавливать подповерхностный профиль температуры [9—12], однако при СВЧ-измерениях с ИСЗ проблемой, осложняющей их интерпретацию, является сильное влияние на наблюдаемые спектр яркостных температур ( $T_y(\lambda)$ ) вариации коэффициента излучения, которые определяются, как правило, вариациями увлажненности грунта [3]. При восстановлении температурного профиля приходится также преодолевать трудности, связанные с некорректностью соответствующей обратной задачи [11, 12].

Из изложенного следует, что для дальнейшего развития методов термического СВЧ-зондирования имеет смысл привлекать дополнительную информацию. В данной работе используется тот факт, что подповерхностное температурное распределение не произвольно, а удовлетворяет уравнению теплопроводности для определенных граничных условий. Это позволяет ввести в рассмотрение и использовать временную зависимость яркостной температуры среды.

**Термозволюционные уравнения для теплового излучения.** Совместное решение уравнений теплопроводности и уравнения переноса излучения для модели плоского полупространства  $z \leq 0$  с коэффициентом поглощения  $\gamma$  и температуропроводности  $a^2$  приводит к точным интегральным соотношениям между наблюдаемыми яркостными температурами теплового излучения и эволюцией температуры (теплового потока) поверхности.

Уравнение теплопроводности

$$\frac{\partial T}{\partial t}(z, t) = a^2 \frac{\partial^2 T}{\partial z^2} \quad (1)$$

удовлетворяющее в области ( $t \geq t_0, z \leq 0$ ) начальному и граничному условиям для температуры  $T(z, t_0) = T^0(z)$ ;  $T(0, t) = T_0(t)$ , имеет решение [13]:

$$\begin{aligned} \bar{T}(z, t) = & \int_{t_0}^t - \frac{z \bar{T}_0(\tau)}{\sqrt{4\pi a^2(t-\tau)^3}} \exp\left[-\frac{z^2}{4a^2(t-\tau)}\right] d\tau + \\ & + \int_{-\infty}^0 - \frac{\bar{T}^0(\xi)}{\sqrt{4\pi a^2(t-\tau)}} \left[ e^{-\frac{(z-\xi)^2}{4a^2(t-t_0)}} - e^{-\frac{(\xi+z)^2}{4a^2(t-t_0)}} \right] d\xi, \quad (2) \\ \bar{T} = & T - T(0, t_0), \quad \bar{T}_0 = T_0 - T(0, t_0), \quad \bar{T}^0 = T^0 - T(0, t_0). \end{aligned}$$

Зависимость яркостной температуры от длины волны при измерениях в надир определяется выражением

$$T_{\text{я}}(\lambda) = (1 - R) \int_{-\infty}^0 T(z) \gamma(\lambda) e^{\gamma(\lambda)z} dz, \quad (3)$$

$R$  — коэффициент отражения,  $\gamma = \frac{2\pi}{\lambda} \sqrt{\varepsilon}$  ( $\varepsilon$  — комплексная диэлектрическая проницаемость), что справедливо и для сильнопоглощающих сред [11]. Подставим глубинное распределение температуры в виде (2) в соотношение (3). Изменим порядок интегрирования; при этом внутренний интеграл по  $z$  берется в явном виде, и в результате имеем:

$$\begin{aligned} \bar{T}_{\text{я}}(\lambda, t) = & \int_{t_0}^t \bar{T}_0(\tau) K(t, \lambda, \tau) d\tau + \int_{-\infty}^0 \bar{T}^0(z) L(t, \lambda, z) dz, \\ K = & (1 - R) (\gamma a)^2 \left( \frac{1}{\sqrt{\pi} \gamma a \sqrt{t-\tau}} - \operatorname{erfc}(\gamma a \sqrt{t-\tau}) e^{(\gamma a)^2(t-\tau)} \right), \\ L = & (1 - R) \frac{\gamma}{2} e^{(\gamma a)^2(t-t_0)} \left[ e^{-\gamma z} \operatorname{erfc} \left( \gamma a \sqrt{t-t_0} - \frac{z}{2a \sqrt{t-t_0}} \right) - \right. \\ & \left. - e^{\gamma z} \operatorname{erfc} \left( \gamma a \sqrt{t-t_0} + \frac{z}{2a \sqrt{t-t_0}} \right) \right], \quad (4) \\ \bar{T}_{\text{я}} = & T_{\text{я}} - (1 - R) T(0, t_0). \end{aligned}$$

Уравнение (4) состоит из двух слагаемых, определяющих относительный вклад граничных и начальных условий. В момент  $t = t_0$  1-е слагаемое равно нулю,  $L = (1-R)\gamma e^{\gamma z}$  и (4) переходит в (3), где в качестве  $T(z)$  берется начальное распределение температуры  $T^0(z)$ . По мере роста  $t$   $L$  стремится к нулю и уже вклад 2-го слагаемого постепенно становится пренебрежимо малым, т. е. исчезает влияние начальных условий на текущее значение  $T_{\text{я}}$ . Тогда из (4) получаем 1-е термозволюционное уравнение

$$T_{\text{я}}(\lambda, t) = \int_{-\infty}^t T_0(\tau) K(t, \lambda, \tau) d\tau. \quad (5)$$

Вклад в (5) значений  $T_0(\tau)$  уменьшается для удаленных от времени наблюдений значений  $\tau$ . Из анализа (2) следует, что максимальный вклад в температуру на глубине  $z$  вносят температуры в момент удаленный в прошлое от момента наблюдений на  $\Delta\tau = t - t_m = z^2/6a^2$ . С другой стороны, как можно видеть из (3), тепловое излучение формируется главным образом в слое с толщиной  $z^* = 1/\gamma$  (толщина скин-слоя). Вклад

в (3) профиля  $T(z)$  на больших глубинах экспоненциально уменьшается. Отсюда следует, что характерный временной интервал  $\Delta\tau^*$ , на котором происходит формирование  $T_{\text{я}}$  в (6) можно оценить как

$$\Delta\tau^* = \frac{z^{*2}}{6a^2} = \frac{1}{6(\gamma a)^2}. \quad (6)$$

Для вывода 2-го термозволюционного уравнения, связывающего яркостную температуру теплового излучения с предшествующей эволюцией потока тепла через поверхность  $z = 0$ , нужно использовать решение уравнения теплопроводности (1), когда в качестве граничного условия задана временная зависимость производной температуры  $\frac{dT}{dz}(0, t) = -\frac{1}{k}J_0(t)$  ( $J_0$  — поток тепла,  $k$  — коэффициент теплопроводности).

Подставляя известное решение [14] этой задачи в (3) и выполняя необходимые преобразования, имеем

$$T_{\text{я}}(\lambda, t) = \int_{-\infty}^t J_0(\tau) K_1(t, \lambda, \tau) d\tau, \quad (7)$$

$$K_1 = -c^{-1}\gamma e^{(\gamma a)^2(t-\tau)} \operatorname{erfc}(\gamma a \sqrt{t-\tau}),$$

$c$  — теплоемкость.

Теперь изменим постановку задачи. Пусть нам известна эволюция граничных условий при  $t > t_0$ . Положим для простоты  $T_0(t) = 0$  или  $J_0(t) = 0$ . Тогда зависимость  $T_{\text{я}}(t)$  будет определяться 2-м слагаемым в (4):

$$T_{\text{я}}(\lambda, t) = \int_{-\infty}^0 T^0(z) L(z, t) dz. \quad (8)$$

Видно, что при  $t - t_0 \rightarrow \infty$   $T_{\text{я}}(t) \rightarrow 0$ . Уравнение (8) аналогично по форме (3) и, как отмечалось выше, при  $t = t_0$  точно совпадает с (3). Таким образом,  $L(t)$  представляет собой оператор временного сдвига для определения  $T_{\text{я}}(\lambda)$  по глубинному распределению  $T(z)$ , существовавшему в некоторый момент  $t_0$  в прошлом.

Уравнения (5), (7), (8) могут быть использованы для постановки ряда новых задач дистанционного зондирования параметров, температурной динамики и теплообмена земной поверхности. Перед тем, как перейти к анализу этих возможностей, отметим некоторые простые следствия из полученных соотношений.

Рассмотрим реакцию яркостной температуры на единичный скачок температуры поверхности. Пусть  $T_0(t < t_0) = 0$ ;  $T_0(t > t_0) = 1$ . Положим для

$$T_{\text{я}}(t) = 1 - e^{(\gamma a)^2(t-t_0)} \operatorname{erfc}(\gamma a \sqrt{t-t_0}). \quad (9)$$

Видно, что с ростом  $(t - t_0)T_{\text{я}}$  стремится к 1, причем при малых  $(t - t_0)T_{\text{я}} \cong \frac{2\gamma a}{\sqrt{\pi}} \sqrt{t - t_0}$ , что позволяет оценивать параметр  $(\gamma a)$  прямо из наблюдения

переходного процесса (9).

Из (7) видно, что если задать граничные условия для потока тепла  $J_0(t)$  также в виде единичного скачка, то  $T_{\text{я}}$  будет неограниченно возрастать (или уменьшаться). Физически это легко объясняется следующим образом. При распространении тепла происходит выравнивание температуры, а для поддержания постоянного потока необходимо сохранение постоянного градиента температуры в поверхностном слое. Это может быть достигнуто только за счет непрерывного увеличения (уменьшения) температуры поверхности, что и приводит к возрастанию  $T_{\text{я}}$ .

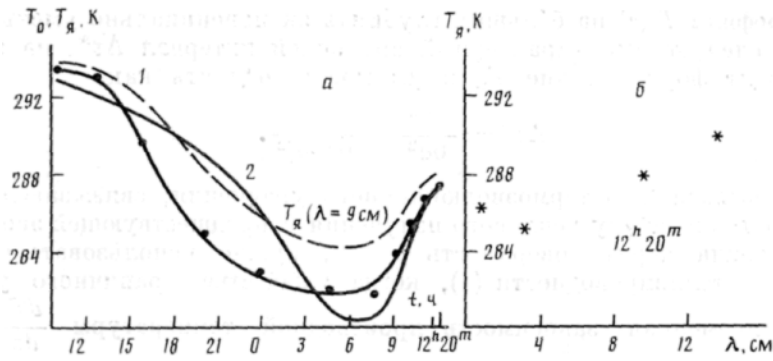


Рис. 1. Результаты восстановления динамики  $T_0(t)$  по данным наземных измерений, а: 1 — восстановление динамики  $T_0(t)$  по измерениям временной динамики  $T_\gamma(t)$  (пунктир), 2 — восстановление  $T_0(t)$  как «тепловой истории» по измерениям  $T_\gamma(\lambda)$  в момент  $12^h 20^m$ , кружки — данные контактных измерений  $T_0(t)$ ; б — спектр  $T_\gamma(\lambda)$ , наблюдавшийся в момент  $12^h 20^m$

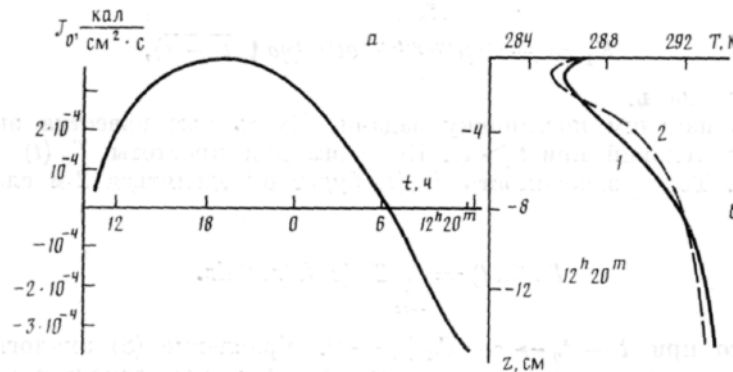


Рис. 2. Результаты восстановления  $J_0(T)$  по наземным данным, а: динамика теплового потока  $J_0(t)$ , восстановленная по измерениям временной динамики  $T_\gamma(\lambda=9\text{ см})$ , пунктир на рис. 1, а; б: 1 — подповерхностный температурный профиль  $T(z)$ , определенный из (2) по восстановленной зависимости  $T_0(t)$  (кривая 1 на рис. 1, а), 2 —  $T(z)$  из решения (3) по спектру  $T_\gamma(\lambda)$  (звездочки на рис. 1, б)

**Определение динамики температуры земной поверхности и теплового потока через поверхность.** Пусть наблюдается зависимость  $T_\gamma(t)$ . В этом случае уравнения (5), (7) являются уравнениями с переменным верхним пределом и представляют собой линейные интегральные уравнения Вольтерра 1-го рода относительно  $T_0(\tau)$  или  $J_0(\tau)$ , решение которых определяет эволюцию температуры (или теплового потока) поверхности по временной зависимости  $T_\gamma(\tau)$  только на одной длине волны. Опыт решения аналогичных уравнений в [15] показывает, что сформулированные задачи решаются численно практически корректно и требуют лишь сглаживания наблюдаемой зависимости  $T_\gamma(t)$ , например, полиномами, до уровня погрешностей измерений  $\delta T_\gamma$ . Восстановленная из решения (5), (7) зависимость  $T_0(t)$  и  $J_0(t)$  может быть использована далее для определения глубинного профиля  $T(z, t)$  в произвольный момент  $t$  на основе решения уравнения теплопроводности (2). Тем самым корректно решается задача одноволнового подповерхностного температурного зондирования. На рис. 1, 2 представлены результаты восстановления  $T_0(t)$ ,  $J_0(t)$  по данным натурных наземных измерений [12], при которых использовалась специальная методика компенсации коэффициента отражения (приемная антенна располагалась под плоским отражающим экраном). В этом случае в приведенных выше соотношениях следует положить  $R = 0$ . Бли-

зость восстановленной по измерениям динамики  $T_n(t)$  на  $\lambda = 9$  см зависимости  $T_0(t)$  к данным контактных измерений (средняя точность восстановления  $\delta T_0 \sim 0,2\text{—}0,3$  К) подтверждает эффективность предложенного метода. Профиль  $T(z)$ , вычисленный из (2) на основе полученного распределения  $T_0(t)$ , близок к профилю, восстановленному из решения интегрального уравнения (3) по спектру  $T_\lambda(\lambda)$  (подробнее см. [12]). Восстановленная динамика температуры и теплового потока отображает специфику суточной температуры динамики — ночное похолодание, а затем утреннее потепление, приводящее к инверсному распределению  $T(z)$ . Как видно из рис. 2, ночью поток тепла идет из почвы в атмосферу; с началом солнечного нагрева поток меняет направление.

Уравнения (5), (7) могут быть также использованы для решения задачи восстановления тепловой истории поверхности, т. е. эволюции температуры поверхности или теплового потока через поверхность в прошлом до момента измерений  $T_\lambda$ . При этом необходимо в момент  $t$  измерить спектральную зависимость  $T_\lambda(\lambda)$ , т. е. требуются многоволновые измерения. Верхний предел в (5), (7) становится постоянной величиной, а сами уравнения представляют собой уже линейные интегральные уравнения Фредгольма 1-го рода. Как известно, решение таких уравнений является некорректной задачей и требует привлечения априорной информации о свойствах точного решения. В данном случае применялся метод обобщенной невязки А. Н. Тихонова [16], в котором решение ищется на классе положительно определенных дифференцируемых функций, особенности применения которого к аналогичным уравнениям рассмотрены в [11, 12]. Из физических соображений ясно, что восстановление тепловой истории возможно на временном интервале, который не может существенно превысить величину  $\Delta\tau^*$ , определяемую соотношением (6). Величина  $\Delta\tau^*$  может меняться в широких пределах в зависимости от теплопроводности и толщины скин-слоя среды на максимальной длине волны, и составляет секунды — минуты для термической пленки в поверхностном слое воды; часы — сутки — в грунте, а в сухом антарктическом льду, где глубина зондирования достигает сотен метров в ДМ-диапазоне, может составлять десятки лет. На рис. 1, 2 представлены результаты восстановления из решения (5) как уравнения Фредгольма суточной динамики поверхностной температуры  $T_0(t)$ , предшествовавшей моменту  $t = 12^{\text{h}}20^{\text{m}}$  многоволновых измерений яркостной температуры  $T_\lambda$  на  $\lambda = 0,8; 3; 9$  и  $13$  см. Видно, что решение рассматриваемой задачи получается менее точным, чем приведенное здесь же решение уравнения типа Вольтерра при одинаковой погрешности измерений, что является характерной особенностью некорректной обратной задачи.

**Определение; параметров грунта. Обобщение полученных результатов. Метод восстановления профиля влажности почвы.** Натурные измерения вблизи поверхности [12], результаты которых использованы в данной работе, показали принципиальную возможность высокоточного радиометрического контроля температурной динамики земной поверхности и процесса ее теплообмена с атмосферой. При наличии контактных или ИК-измерений  $T_0(t)$  можно ставить задачу определения параметра ( $\gamma$ ), от которого зависит ядро (5) и (7). В сухих грунтах величина ( $\gamma$ ) зависит от плотности, а в увлажненных — определяется влажностью (соответствующие соотношения  $\gamma$  и  $a$  с указанными параметрами приведены, например, в [14, 17, 18], что позволяет развить методы, цель которых — определение названных характеристик. Можно заметить, что в ядро уравнения (8) параметры  $\gamma$  и  $a$  входят несимметрично, что, казалось бы, позволяет разработать метод их отдельной оценки по наблюдениям эволюции  $T_\lambda$  от момента  $t_0$ , для которого известен начальный профиль  $T^\circ(z)$ . Но из инвариантности (4) относительно сдвига  $t_0$  ясно, что для всех распределений  $T^\circ(z)$ , являющихся решениями уравнения теплопроводности, представимыми в форме (2),  $T_\lambda$  зависит только от ( $\gamma$ ). Однако, если

искусственно создать начальное распределение  $T^0(z)$ , не представимое в виде (2), например, скачок температур на некоторой глубине  $z$ , то, может быть, несимметрия  $\gamma$  и  $a$  в ядре  $L$  в (8) проявится в наблюдаемой зависимости  $T_{\pi}(t)$ .

Переходя к возможности применения развитой теории к зондированию с ИСЗ, сразу следует отметить, что в этом случае трудно избавиться от влияния коэффициента отражения, и для определения абсолютных значений температуры поверхности основной проблемой является определение  $R$  с достаточной точностью. Не вдаваясь в данной работе в анализ конкретных ситуаций, заметим, что и тогда, когда точное определение  $R$  невозможно, предложенный метод при спутниковых измерениях позволяет определять вариации температуры поверхности и теплового потока.

Ограничения применения полученных соотношений и необходимость их обобщения вытекает из большого разнообразия типов земной поверхности. В ряде ситуаций модельные предположения, заложенные при выводе (4)—(8), не выполняются. В первую очередь это относится к неоднородным средам, когда  $\gamma$  и  $a$  зависят от глубины, причем зависимость может быть как плавной, так и разрывной (слои). Математическое описание в этом случае усложняется. Уравнение теплопроводности приобретает вид

$$-\frac{\partial}{\partial z} \left[ k(z) \frac{\partial T}{\partial z}(z, t) \right] = c(z) \frac{\partial T}{\partial t}, \quad (10)$$

а решение уравнения переноса излучения (для плавных неоднородностей)

$$T_{\pi}(\lambda) = (1 - R) \int_{-\infty}^0 T(z) \gamma(z) e^{-\int_z^0 \gamma(z') dz'} dz. \quad (11)$$

Для слоистых сред учет интерференции также приводит к интегральному соотношению типа (11), но ядро имеет сложный вид и содержит зависимость от координат слоев [19]. Если от глубины зависит только коэффициент поглощения, то нетрудно получить обобщения для ядер уравнений (4)—(8) в аналитическом виде; если и параметры теплопроводности в (10) также неоднородны, интегральные соотношения типа (4)—(8) можно получить по основе интеграла Дюамеля, но ядра этих уравнений получаются только численными методами из решения уравнения теплопроводности (10) для граничных условий в виде единичного скачка. Главной задачей дистанционного зондирования такой среды уже становится восстановление глубинной зависимости ее параметров. В общем случае это весьма сложная задача, но для плавно-неоднородной среды, в которой параметры теплопроводности и поглощения определяются одной характеристикой (восстанавливается одна функция глубины), решение возможно. Такой средой, как уже отмечалось, является увлажненная почва, причем зависимость  $\gamma(\rho)$  ( $\rho$  — влажность) является значительно более сильной, чем  $k(\rho)$  и  $c(\rho)$ . Вид этих зависимостей известен [16]. Можно предложить следующий алгоритм восстановления глубинного профиля влажности  $\rho(z)$ . Пусть нам известна, например, из измерений в ПК-диапазоне, временная динамика поверхностной температуры  $T_0(t)$ . Определим в первом приближении глубинный профиль  $T(z)$  на основе (2) с использованием значения  $a^2$ , вычисленного для некоторого среднего значения влажности, и подставим его в (11):

$$T_{\pi}(t) = \int_{-\infty}^0 A(z) T(z, t) dz; \quad (12)$$

$$A(z) = (1 - R) \gamma(z) e^{-\int_z^0 \gamma(z') dz'}. \quad (13)$$

Решаем уравнение (12), как уравнение Фредгольма 1-го рода с неточно заданным ядром  $T(z,t)$ , например, методом обобщенной невязки [10] относительно  $A(z)$ . Соотношение (13) легко разрешимо относительно  $\rho(z)$ , что и позволяет, используя эмпирические выражения [3, 18], восстановить зависимость  $\rho(z)$ . Далее по найденному распределению  $\rho(z)$  на основе известных соотношений [19] определяются профили  $k(z)$  и  $c(z)$ , и второе приближение для профиля  $T(z, t)$  находится уже из решения (10). Снова  $T(z, t)$  в качестве ядра подставляется в (12) и из его решения получается уточненное распределение  $\rho(z)$ . Процесс итераций можно продолжать, хотя очевидно, что без конкретного рассмотрения на основе натуральных экспериментов трудно давать достаточно общие рекомендации. Отметим, что при решении данной задачи неточность оценки  $R$  не имеет существенного значения, что важно для реализации метода с самолетов и ИСЗ. Для оценки первого приближения влажности по радиометрическим данным можно использовать и известную методику [3].

Укажем еще ряд эффектов, в некоторых случаях осложняющих применение рассмотренных методов. Это поверхностное и объемное рассеяние, зависимость  $\gamma$  и  $a$  от температуры (водная поверхность), приводящая к нелинейности уравнений. Наконец, это случаи, когда имеет место быстрая временная динамика этих параметров ( $R(t)$ ,  $a(t)$ ,  $\gamma(t)$ ), как, например, во время дождя. Возможно, в таких ситуациях успех может принести введение в систему решаемых уравнений уравнения диффузии влажности.

Несмотря на отмеченные трудности, представляется, что введение в рассмотрение динамики, связанной с теплопроводностью, открывает новые возможности в задачах дистанционного зондирования. Кроме рассмотренных в данной работе задач, могут рассматриваться другие постановки, связанные с привлечением угловой, поляризационной и спектральной зависимостей.

**Заключение.** На основе совместного решения уравнений переноса излучения и теплопроводности получены термоэволюционные уравнения, связывающие наблюдаемые яркостные температуры с предшествующей эволюцией температуры поверхности или с эволюцией теплового потока через поверхность. Предложены и апробированы в эксперименте методы: а) определения динамики температуры (теплового потока) поверхности и подповерхностного профиля температуры полупространства по одно-волновым измерениям временной зависимости  $T_n(t)$ ; б) восстановления тепловой истории поверхности по измерению спектра  $T_n(\lambda)$ .

Рассмотрен случай неоднородной среды и предложен метод восстановления глубинного профиля влажности грунта по одноволновым измерениям  $T_n(t)$  и  $T_0(t)$  соответственно в СВЧ- и ИК-диапазонах.

Методы, основанные на решении термоэволюционных уравнений, представляются весьма перспективными и для радиометрического зондирования поверхностей других планет и астероидов, поскольку из-за отсутствия влаги коэффициент излучения близок к единице, а температурные вариации, связанные с собственным вращением и движением по орбите, очень велики [20].

#### СПИСОК ЛИТЕРАТУРЫ

1. Башаринов А. Е., Гурвич А. С., Егоров С. Т. Радиои兹лучение Земли как планеты. М.: Наука, 1974. 188 с.
2. Ulaby F. T., Moore R. K., Fung A. K. Microwave remote sensing: active and passive. V. III: From theory to application. USA. North Berger: Artech House, Inc., 1986. 2161 p.
3. Шутко А. М. СВЧ-радиометрия водной поверхности и почвогрунтов. М.: Наука, 1986. 190 с.
4. Кондратьев К. Я., Григорьев А. А., Рабинович Ю. //., Шульгина Е. М. Метеорологическое зондирование подстилающей поверхности из космоса / Под ред. К. Я. Кондратьева. Л.: Гидрометеиздат, 1979. 248 с.

5. *Эткин В. С., Шарков Е.А.* Возможности дистанционного исследования поверхности Земли при помощи радиофизических систем // Космические исследования земных ресурсов. М.: Наука, 1976. С. 99—105.
6. *Рабинович Ю. И., Щукин Г. Г., Мелентьев В. В.* Определение температуры водной поверхности по радиоизлучению в сантиметровом диапазоне // Тр. ГГО. 1968. Вып. 222. С. 49—56.
5. *Гурвич А. С., Егоров С. Т.* Определение температуры поверхности моря по ее тепловому радиоизлучению // Изв. АН СССР. Физика атмосферы и океана. 1966. Т. 11. № 3. С. 305—313.
6. *Матвеев Д. Т.* Экспериментальные исследования температурного поля морской поверхности по ее тепловому излучению в радиодиапазоне // Изв. АН СССР. Физика атмосферы и океана. 1968. Т. 4. № 5. С. 508—515.
7. *Кондратьев К. И., Тимофеев Ю. П., Шульгина В. М.* О возможностях определения характеристик поверхностного слоя почвы по ее тепловому радиоизлучению // ДАН СССР. 1970. Т. 194. № 6. С. 1313—1315.
10. *Кондратьев К. Я., Шульгина В. М.* Определение некоторых характеристик почвы по данным измерений ее микроволнового излучения // ДАН СССР. 1971. Т. 200. № 1. С. 86—97.
11. *Гайкович К. Я., Резник А. Я., Сумин М. И., Троицкий Р. В.* Определение профиля температуры поверхностного слоя воды по его радиоизлучению в СВЧ-диапазоне // Изв. АН СССР. Физика атмосферы и океана. 1987. Т. 23. № 7. С. 761—768.
12. *Гайкович К. Я., Резник А. Я., Троицкий Р. В.* Подповерхностное пассивное СВЧ-зондирование: определение температурного профиля, глубины промерзания, тепловой истории и других параметров почвогрунтов: Препринт № 250. Горький: ПИРФИ, 1988. 44 с.
13. *Шарков Е. А.* Об использовании радиотепловых систем СВЧ для исследования теплового взаимодействия в переходном слое на границе океан — атмосфера // Радиотехника и электроника. 1978. Т. 23. № 3. С. 655—658.
14. *Тихонов А. Я., Самарский А. А.* Уравнения математической физики. М.: Наука, 1977. 736 с.
15. *Гайкович К. Я., Китай Ш. Д.* О возможности определения влагосодержания верхних слоев атмосферы радиометрическими методами // Исслед. Земли из космоса. 1982. № 5. С. 54-58.
16. *Тихонов А. Я., Гончарский А. В., Степанов В. В., Ягола А. Г.* Регуляризирующие алгоритмы и априорная информация. М.: Наука, 1983. 200 с.
17. *Чудновский А. Ф.* Теплофизика почв. М.: Наука, 1976. 497 с.
18. *Dobson C. M., Ulaby F. T., Ilalikkainen M. T., El-Raye. < M. A.* Microwave dielectric behavior of wet soil. Pt II. Dielectric mixing models // IEEE Trans. Geosci. Remote Sensing. 1985. V. 23. № 1. P. 35—46.
19. *Bardati F., Solimini D.* On the emissivity of layered materials // IEEE Trans. 1987. V. GE-16. P. 138—143.
20. *Тихонова Т. В., Троицкий В. С.* Тепловое излучение Луны и физические свойства ее верхнего покрова (обзор) // Радиофизика. 1970. Т. 13. № 9. С. 1273—1311.

Горьковский научно-исследовательский  
радиофизический институт

Материал поступил в редакцию  
4.10.89

**K. P. GAIKOVICH**  
**RADIOMETRY OF THE DYNAMICS OF THE TEMPERATURE,**  
**THERMAL FLOW, AND EARTH SURFACE PARAMETERS**  
**(USING THERMAL EVOLUTION EQUATIONS)**

*Research Institute of Radio Physics, Gor'kii*

Equations are derived which relate brightness temperatures of the thermal emission of a half-space with surface temperature (thermal flow) evolution. Remote sensing methods are proposed to measure the temperature, thermal flow, and humidity of the earth surface.